

境界要素法による支点上ダイアフラムの構造解析とその力学的特性について

大阪大学工学部 正員 小松 定夫  
大阪大学大学院 学生員 保田 保秀  
大阪大学工学部 学生員 ○横山 宜英

1. まえがき 近年、箱桁橋における支間長の長文化および構造型式の複雑化は、箱桁橋の挙動をより複雑なものとしている。特に支点上ダイアフラムは反力を各部材に伝えるという重要な役割を有しているにもかかわらず、明らかにされていない部分が多い。また、曲線桁橋および斜り支持型式の箱桁橋においては、従来とられてきた簡単的な設計法により求めた断面内応力と実際の発生応力とが非常に異なる場合がある。このような支点上ダイアフラムの挙動を明らかにする事は非常に重要であり、この論文の目的とする所である。そこで境界要素法を用いてリブ材と平板部材の結合部材の解析手法を示し、次にこの手法を用いて支点上ダイアフラムを一枚板としてとり出した解析例を示す。さらにこの手法を、小松・長井<sup>1)</sup>らが示した境界要素法と有限ブロック要素法の混用解析手法と結合し、曲線箱桁の支点上ダイアフラムの解析例を示す。

2. 軸力部材とみなしたリブを有する平板の解析

今、図1に示すような解析モデルを考える。ここでリブとは鉛直補剛材をモデル化して軸力部材とみなしたものである。さて、各々の領域について以下のような方程式が得られる。

領域1, 領域2および領域3について

$$\begin{bmatrix} A_0^1; A_{ii}^1 \\ U_{ii}^1 \end{bmatrix} \begin{Bmatrix} U_i^1 \\ P_i^1 \end{Bmatrix} = \begin{Bmatrix} B_0^1; B_{ii}^1 \\ P_i^1 \end{Bmatrix}, \quad \begin{bmatrix} A_{ii}^2; A_0^2; A_{ii}^2 \\ U_{ii}^2 \end{bmatrix} \begin{Bmatrix} U_i^2 \\ P_i^2 \end{Bmatrix} = \begin{Bmatrix} B_{ii}^2; B_0^2; B_{ii}^2 \\ P_i^2 \end{Bmatrix}$$

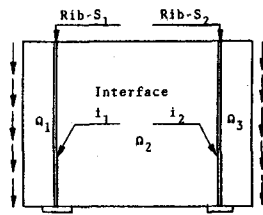


Fig. 1 Analytical Model

-----(2.1)<sub>1,2</sub>

$$\begin{bmatrix} A_{ii}^3; A_0^3 \\ U_{ii}^3 \end{bmatrix} \begin{Bmatrix} U_i^3 \\ P_i^3 \end{Bmatrix} = \begin{Bmatrix} B_{ii}^3; B_0^3 \\ P_i^3 \end{Bmatrix}, \quad \text{ここで } P_{ik}^n \begin{Bmatrix} P_{ik}^n \\ Q_{ik}^n \end{Bmatrix} \text{ とする. } (k=1, 2)$$

リブ材 $s_1$ および $s_2$ に関しては  $K_{s1}U_{s1} = M_{s1}Q_{s1}$ ,  $K_{s2}U_{s2} = M_{s2}Q_{s2}$  -----(2.2)<sub>1,2</sub>となる。ここで  $Q_{SK}$  はリブ材の両側の隔壁のせん断流ヒンジ合ラ等価節点力ベクトルである。さて、 $i_1$ 結合部材における、変位の適合条件および力のフリ合い条件は以下の通り。

$$U_{i1}^1 = U_{i2}^2 = U_{i3}^3 = U_{i1}, t_1P_{i1}^1 + t_2P_{i1}^2 = 0, t_1Q_{i1}^1 + t_2Q_{i1}^2 + Q_{i1}^3 = 0$$

-----(2.3)

$i_2$ についても同様に得られ、最終的に次の式を得る。

$$\begin{bmatrix} A_0 & A_{ii}^1 & -B_{ii}^{11} & -B_{ii}^{12} \\ K_{s1} & t_1M_{s1} & t_2M_{s2} & \\ A_{ii}^2 & t_2B_{ii}^{21} & -B_{ii}^{22} & A_0^2 & A_{ii}^2 & -B_{ii}^{23} & -B_{ii}^{21} \\ A_{ii}^3 & t_2B_{ii}^{31} & -B_{ii}^{32} & & A_{ii}^2 & t_2B_{ii}^{30} & -B_{ii}^{31} & A_0^3 \end{bmatrix} \delta = f \quad (2.4)$$

ここで  $\delta$ ; 未知変数よりなるベクトル,  $f$ ; 荷重ベクトルである。

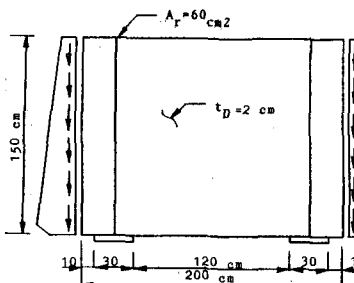


Fig. 2 Analytical Model

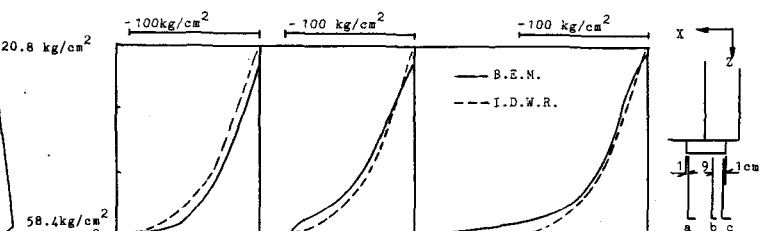


Fig. 3 Distribution of Normal Stress ( $\sigma_z$ )

### 3. 敷値計算例

(1) 図2に示す支点上ダイアフラムを一枚板としての解析例を示す。腹板より流れれるせん断流として I.D.W.R. (Interim Design and Workmanship Rules)  $12 f_s$ ,  $t_c$ 。図3は直応力 ( $\sigma_z$ )、図4はせん断応力 ( $\tau_{xz}$ ) の分布を示す。これによれば I.D.W.R. は支承端では危険側となるが、支承内部では安全側となる。ている。

(2) 図6に示す1箱1箱の支点上ダイアフラムの解析を行なう。

荷重として一様せん断流を取扱った。図中の数字は(B.E.M./I.D.W.R.)である。

(3) 図8は直支持曲線解析の解析モデルを示す。図9、図10は支点上ダイアフラムの応力分布を示す。これによればのと同様の事が言える。

4. 結び 以上の敷値計算例により、本手法を用い山

は、箱構造の支点上ダイアフラムの挙動が精度よく解析できる事がわかった。

### 5. 参考文献

小松寛大、長井正嗣；複合材構造の境界要素法と有限要素法による混用解析について、土木学会関西支部年講、昭和56年

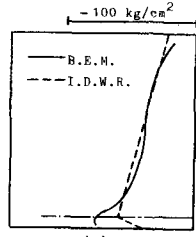


Fig. 4 Distribution of Shearing Stress ( $\tau_{xz}$ )

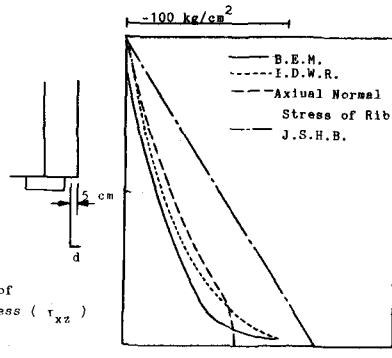


Fig. 5 Distribution of Normal stress ( $\sigma_z$ )

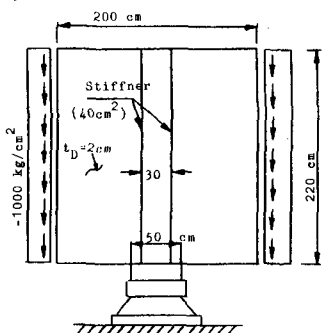


Fig. 6 Analytical Model

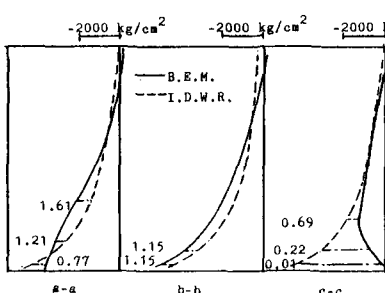


Fig. 7 Distribution of Normal Stress ( $\sigma_z$ )

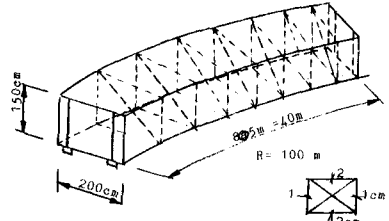


Fig. 8 Analytical Model

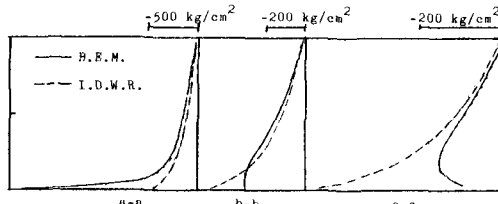


Fig. 9 Distribution of Normal Stress ( $\sigma_z$ )

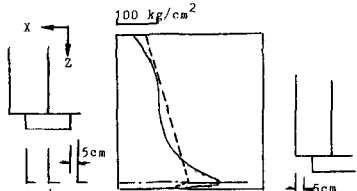


Fig. 10 Distribution of Shearing Stress ( $\tau_{xz}$ )